

冷却水の表層放出に伴なう下層水加入現象

電力中央研究所 正会員 稲田 明
同 工。正会員 片野 尚明

1.はじめ

鉛直断面内における冷却水放水による流れと熱拡散との相互干渉を考慮に入れた数値実験の結果、および現地観測の結果によれば、放水口付近で冷却水表層流出に伴なって下層から渦昇流が起る:ことを先に報告した(第22回土木学会年次学術講演会、第14回海岸工学講演会)。温水拡散の機構は放水口近傍では下層水からの冷水供給、放水口より冲合数十メートル以上では渦動拡散、および潮流混合が主役を演じる。従って、温水冷却水の表層流出による海域の水温分布をより精度高く求めたためには放水口近傍での下層冷水供給を考慮にいれなければならない。

今回の報告はこの現象過程を確認するために鉛直断面を対象とした水理実験を行い、冷却水を表層流出方式としたときの流れと小翼分布の形成過程を検討し、下層から上層への冷水の加入条件、および加入量を求めたものである。

2. 下層水加入現象

冷却水放出に伴う下層水の表層への加入量は単位時間あたり、境界面の单位面積を横切る下層水の容量として定義する。従て、加入量は境界面での鉛直上方に向う速度に等しい。任意断面での表層厚さは放水断面、およびこの断面までは流入した加入量に依存するであろう。放出流速が混合に対する限界速度より大きいとき、冷水が下から加入し表層の厚さは増大する。放水口よりある距離を経過した所では速度は減少するので加入は減少し、表層厚さの増加割合は小さくなる。さらにある距離を経過した所では密度差と流れの状態に依存するが、表層厚さはほとんど変化なく表層混合層の乱れも消失し、2層間の混合が生じなくなるであろう。

質量欠損、および下層水加入に対する式はつぎのように書ける(Ellison & Turner)。

$$UhA = A = \text{一定} \quad (1)$$

$$\frac{1}{U} \frac{d}{dx}(Uh) = E \quad (2)$$

ここで K 、 $U(x)$ は表層の平均速度、 h はその厚さである。また、

$$Uh = \int_0^H u dz, \quad U^2 h = \int_0^H u^2 dz, \quad A = \int_0^H \left(\frac{P_2 - P_1}{P_2}\right) g u dz = UhA,$$

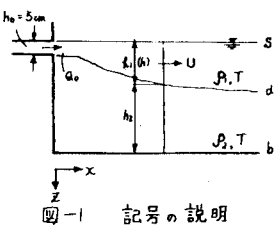


図-1 記号の説明

$U(x, z)$ は x 方向の速度、 P_1, P_2 はそれぞれ表層、下層の密度、

E は加入係数で内部フルード数(Richardson 数)の関数で U^3/A と書ける(図-1 参照)。

Ellison & Turner は乱流加入についての実験的研究を行い、十分大きい Re 数に対して、下層水加入係数 E は内部フルード数 F_L の $\frac{1}{2}$ の関数であること、および E は F_L の減少と共に急激に小さくなり、それがおよそ 1.2 以下のとき無視できることを結論している。一方、2 層の密度流現象を考えるととき、連続式、および熱拡散方程式はつぎのようになる(図-1 参照)。

$$\text{表層} ; \quad \left\{ \begin{array}{l} \frac{\partial(s-d)}{\partial t} + \frac{\partial M_i}{\partial x_i} = E \cdot I \cdot U \\ \frac{\partial T}{\partial t} + U_j \frac{\partial T}{\partial x_j} = K_h D^2 T + \frac{Q_0}{C_p h_i} - \frac{E \cdot I \cdot U}{h_i} (T - T_b) \end{array} \right. \quad (3)$$

$$\text{下層} ; \quad \frac{\partial d}{\partial t} + \frac{\partial M_i}{\partial x_i} = - E \cdot I \cdot U \quad (4)$$

$$\text{下層} ; \quad \frac{\partial d}{\partial t} + \frac{\partial M_i}{\partial x_i} = - E \cdot I \cdot U \quad (5)$$

$\propto K$, M_i は質量成分, U は合成速度, T は水温, K_h は拡散係数, Q_0 は熱収支項。

下層水加入を考慮した 2 層モデル方程式によって水温と流れの場を解くには Ellison 等の結論だけでは十分でない。すなわち、下層水加入条件が必要になってくる。筆者等の意図した実験目的もそむくにある。

3. 実験装置、および方法

図-2 は実験装置の概略を示す。実験装置は大別して、ボイラーと温水水槽から成る温水供給部分、温水を実験水槽へ導くポンプとベンチエリーパイプ、および放水口からなる放水路部分、温排水を復する錠重＝次元水槽、および温水の帰還部分で構成される。

温水供給部分は最大 50 °C, 3 l/s を供給する能
力を持ち、放水口出口の水温変動は約 ± 0.25 °C である。実験水槽の長さは 25 m で、反射の軽減、
および実験時間を持くことができるよう考慮
されている。また、水槽は透明観測の便宜のため
片面透明アクリル板とした。流速の測定は表層の
温水流に対しては電界型小型流速計を用いてカウ
ンターに表示させ、下層の遅い冷水の動きに対し
ては染料をトレーサとして用い、この動きを連続

写真撮影することから求めた。また、水温の測定はサーミスタ型多点水温計(20 点)を用いた。なお、
実験装置には目視観測の便宜、および下層水加入量を濃度法によって求めるための温水を着色させる
染料注入装置が設けてある。

4. 実験結果と考察

水理実験は図-2 に示すように表層放水方式をとり、放水流量は 0.5 ~ 2.5 l/sec、放水温は温排水を復する水槽内の水温よりも約 10 °C 高くし、放水口から実験条件範囲での Reynolds 数は 3 ~ 15 ($\times 10^3$)、内部フルード数 1.3 ~ 1.5 である。放水口より温水が十分均等な流速分布になるよう
放水路に整流格子 2 個が取り付けられている。

図-3、および図-4 は実験結果であって、それぞれ放水口断面から下流における表層流速、およ
び表層水深の変化を示したものである。こゝにいう表層流速とは表層での平均値であり、また表層水
深は流速分布と水温分布から求められるが、この両者の値に差があり、こゝでは流速分布の不連続部
分までの深さをとっている。また、水槽巾(20 cm)方向における流速の平面分布形状は、流速が小さ
い時にはほどご放物線形を呈し、流量が増すにつれて扁平化する。図-3 から明かのように、流速の
変化割合は表層水深のそれに比べて大きく、実験流量の範囲に対して $x/h_0 > 30$ (h_0 は放水口高さ)

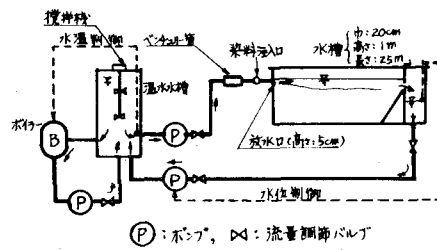


図-2 模型装置概略図

くなれば小さくなっている。また、Richardson数を算定する際必要となる水温の値は表層での鉛直方向に平均した値を用いている。図-5は放水口断面より下流域における下層水加入係数を示したものである。図から流速と表層水深の変化割合から予想されるように加入係数は放水口から距離を経るにつれて急激に減少することがわかる。

図-6は下層水加入量とRichardson数との関係を示している。同図にはEllison & Turnerの実験結果が付記されているが、我々の実験値とほど同じ傾向にある。しかし、 R_i 数と下層水加入係数Eとの間には一義的な関係の外が存在するとは思われない。すなわち、下層水加入量は同じRichardson数の値に対して、表層水深、つまり内部境界面の勾配の大きさによって異なることが予想される。図-7はこれを基にして整理された結果である。下層水加入係数Eは内部境界面の勾配の増大、Richardson数の減少に伴なって増大することがわかる。 E は同一の dh/dx の値に対して R_i 数の値によって変化する。このことはEの定義から当然の帰結であるが、下層水加入条件の判定という観点からみれば意味があるよう。

以上、流れの連続条件から問題を論じてきたが、他の方法として熱量保存の面から検討が考えられる。

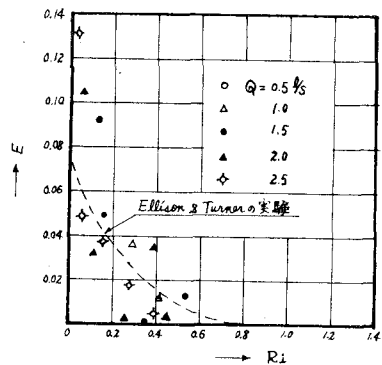


図-6 Eと R_i の関係

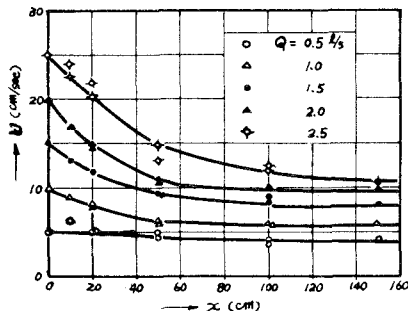


図-3 放水口下流における流速の変化

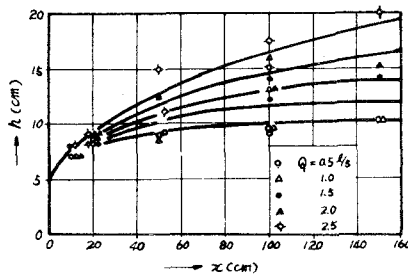


図-4 放水口下流における表層水深の変化

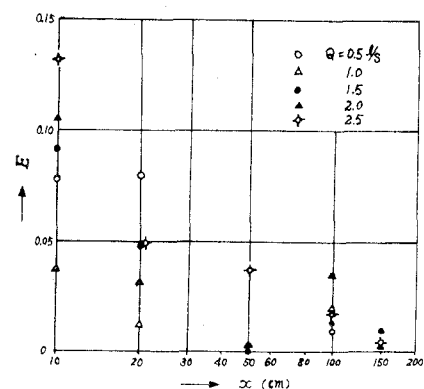


図-5 放水口下流におけるEの変化

それは式(4)より、拡散項、熱収支項を小さいとして無視すればつぎのようになる。

$$U \frac{\partial T}{\partial x} = \frac{E |U|}{n_1} (T - T_b) \quad (6)$$

この関係式から下層水加入量を論じるものである。
この方法による結果については講演の際報告する。

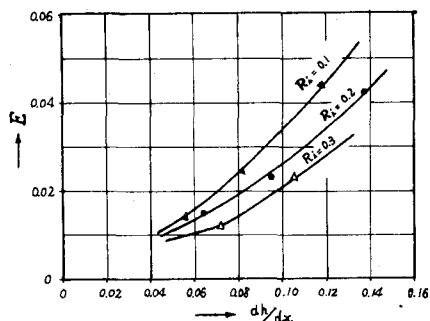


図-7 Ri をパラメータにした
 dh/dx と E の関係

(参考文献)

- 1) 第22回土木学会年次学術講演会講演概要
- 2) 第14回海岸工学講演会講演集
- 3) "Turbulent Entrainment in Stratified Flow", by T. H. Ellisor and J. S. Turner, Journal of Fluid Mechanics, Vol. 6, Part 3, Oct., 1959.